

# Effects of three-nucleon interaction on isotope shifts of Pb nuclei

中田 仁 (千葉大・理)

@ 新学術理論班研究会  
(京大基研; Mar. 12, 2015)

## Contents:

- I. Introduction
- II.  $3N$  LS int. と Pb 核の isotope shift
- III. Summary

Ref.: H.N. & T. Inakura, P.R.C 91, 021302(R) ('15)

# I. Introduction

## Shell structure ( $\rightarrow$ magic number)

— 核構造の基本概念

astrophysical importance

$\left\{ \begin{array}{l} s- \text{ \& } r\text{-process の waiting point} \\ \text{EOS の制限} \leftarrow \text{shell effects の subtraction} \\ n\text{-star inner crust 中の cluster (}\leftrightarrow \text{ e.g. QPO)} \end{array} \right.$

★  $Z$ - &  $N$ -dep.! (“shell evolution”)

★ central +  $ls$  potential

$ls$  pot.  $\leftrightarrow$   $ls$  splitting ( $\rightarrow$  magic #'s in  $Z, N > 20$ )

○  $2N$  LS int. — 不十分 ( $\Rightarrow$  多くの場合, 現象論的に強い LS int. を導入)

○ tensor int. (+  $\alpha$ )  $\rightarrow$   $Z, N$ -dep.

overall strength への寄与  $\dots$  一定の摂動的寄与,

しかしあまり大きくない

shell structure の origin の理解  $\rightarrow$  正しい予言

★ 河野 ...  $ls$  splitting の origin を説明する新たな mechanism の指摘

Ref.: PRC 86, 061301(R)

$3N$  int. ( $\chi$ EFT)  $\rightarrow$   $\rho$ -dep. LS int.

stronger LS int. at higher  $\rho$  ( $\rightarrow$  stronger  $ls$  pot.)

$\Rightarrow$  実験的 evidence ?

... 特に,  $ls$  splitting と独立な evidence があれば面白い

(より信頼性が高まる)

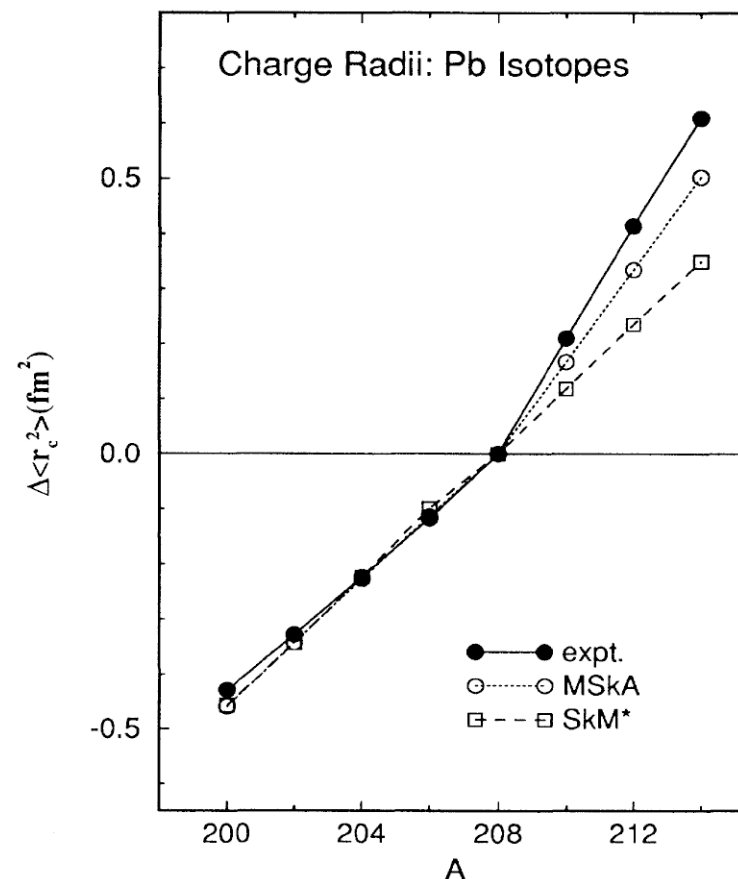
## Pb核のisotope shift

$$\Delta\langle r^2 \rangle_p(^A\text{Pb}) := \langle r^2 \rangle_p(^A\text{Pb}) - \langle r^2 \rangle_p(^{208}\text{Pb})$$

exp.

⇒  $N = 126$  でのkink!

{ electron scatt.  
 X-ray freq. difference  
 ( $\mu^-$  atom,  $K\alpha$ , OIS)



Ref.: M.M. Sharma *et al.*, PRL 74, 3744

'90年頃までのSkyrme EDFでは説明できない, しかしRMFでは出せる  
 → LS int. の isospin content による? (→ Skyrme EDF の拡張)

... しかし, 十分な解決とは言えない!

$\Delta\langle r^2 \rangle_p(^A\text{Pb})$  の  $N = 126$  での kink ←  $n0i_{11/2}$  occupation

$\uparrow\uparrow$   
p-n attraction

$\left\{ \begin{array}{l} \text{neighboring orbits より } \langle r^2 \rangle \text{ 大} \\ N < 126 \text{ で unocc.} \\ N > 126 \text{ では occ. prob. を持つ} \\ \quad (\because \text{pairing}) \end{array} \right.$

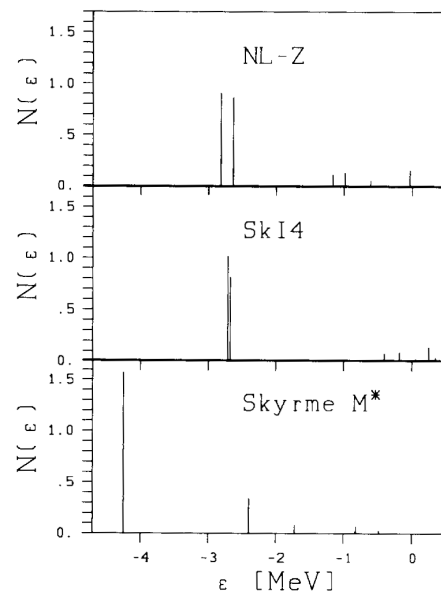
Ref.: P.-G. Reinhard and H. Flocard, NPA 584, 467

'90年代の“理解” ...  $\varepsilon_n(0i_{11/2}) - \varepsilon_n(1g_{9/2})$  が本質的

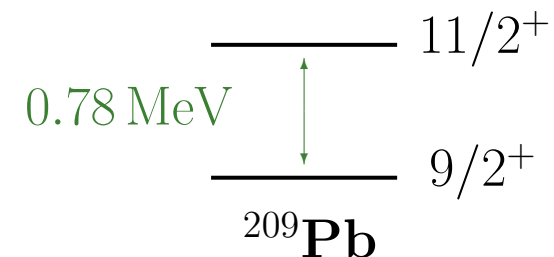
↔ LS int. の isospin content

しかし,  $\varepsilon_n(0i_{11/2}) \approx \varepsilon_n(1g_{9/2})$  (↔ ほぼ等しい occ. prob.) でないと

$\Delta\langle r^2 \rangle_p$  を説明できない! (それでも少し足りない)



一方 ...



## II. $3N$ LS int. と Pb核の isotope shift

LS int. の  $\rho$ -dep.  $\rightarrow$   $\left\{ \begin{array}{l} \text{核内 } (\rho \text{ 大}) \text{ で強い LS} \\ \text{核外 } (\rho \text{ 小}) \text{ で弱い LS} \end{array} \right.$

$\rightarrow$   $\left\{ \begin{array}{l} j = \ell + 1/2 \text{ 軌道は核内に寄る} \\ j = \ell - 1/2 \text{ 軌道は核外に寄る} \end{array} \right. \quad (\because \text{variation})$

$n0i_{11/2}$  の半径が大きくなる

$\rightarrow$  Pb核の isotope shift に効く？

確認  $\leftarrow$  spherical HFB with semi-realistic M3Y-P6 int.

$\dots$   $G$ -matrix +  $\rho$ -dep. contact term + enhanced LS  
 $(\rightarrow$  reasonable な shell structure)

M3Y-P6  $\text{---} v_{\text{M3Y}}^{(\text{LS})} \times 2.2$

vs.  $(\varepsilon_n(0i_{11/2}) - \varepsilon_n(0i_{13/2})$  を合わせる)

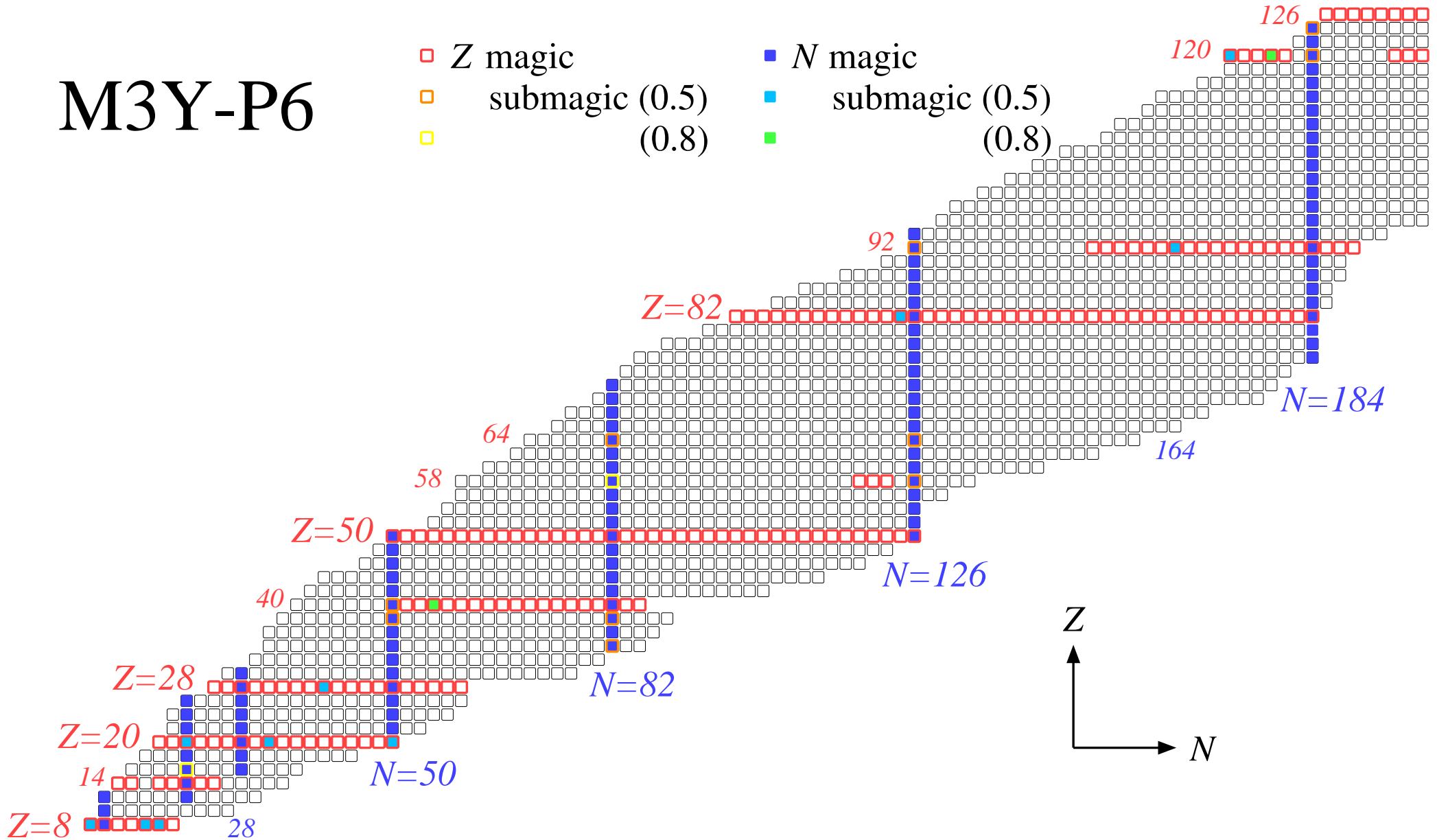
M3Y-P6a  $\text{---} v_{\text{M3Y}}^{(\text{LS})} + v^{(\text{LS}\rho)}$

$$v^{(\text{LS}\rho)} = 2i D[\rho(\mathbf{R}_{ij})] \mathbf{p}_{ij} \times \delta(\mathbf{r}_{ij}) \mathbf{p}_{ij} \cdot (\mathbf{s}_i + \mathbf{s}_j);$$

$$D[\rho(\mathbf{r})] = -w_1 \frac{\rho(\mathbf{r})}{1 + d_1 \rho(\mathbf{r})} \left( \approx -w_1 \rho(\mathbf{r}) \right)$$

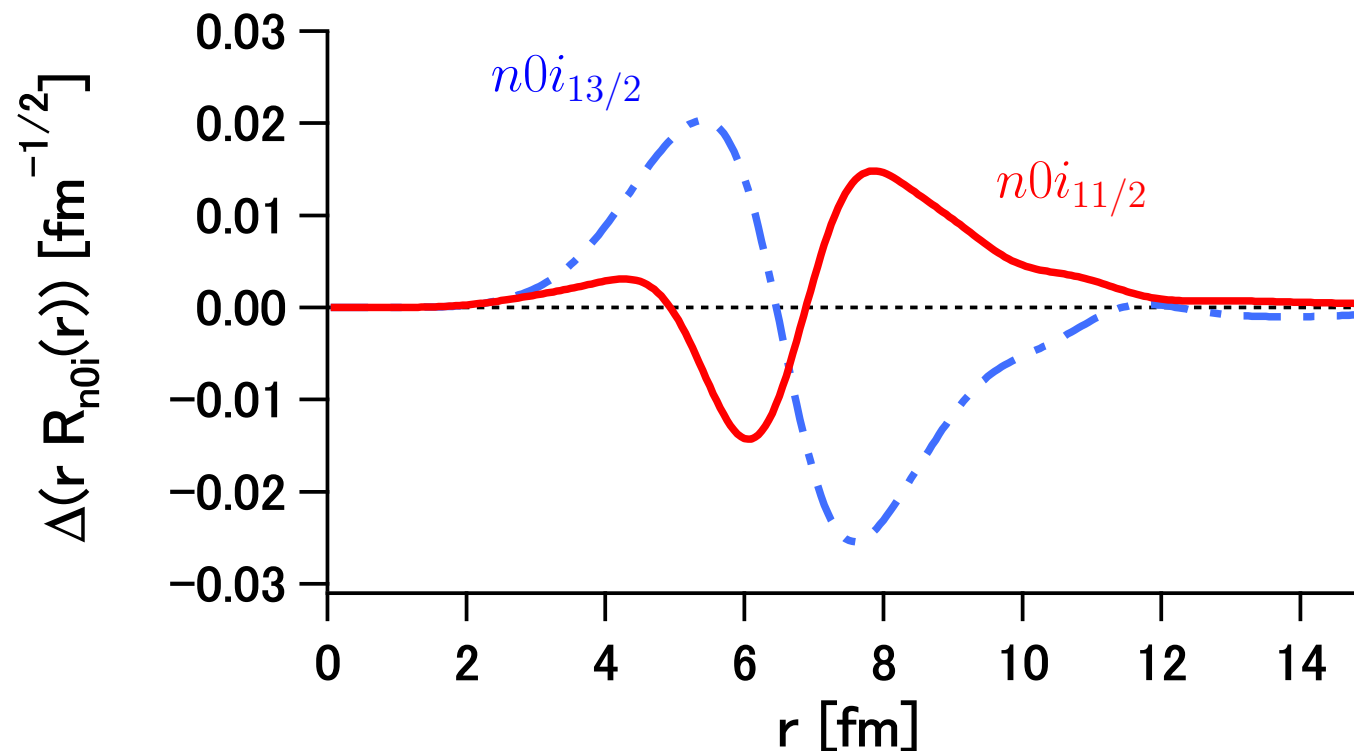
# M3Y-P6

- $Z$  magic
- submagic (0.5)
- (0.8)
- $N$  magic
- submagic (0.5)
- (0.8)



★ 波動関数に対する効果

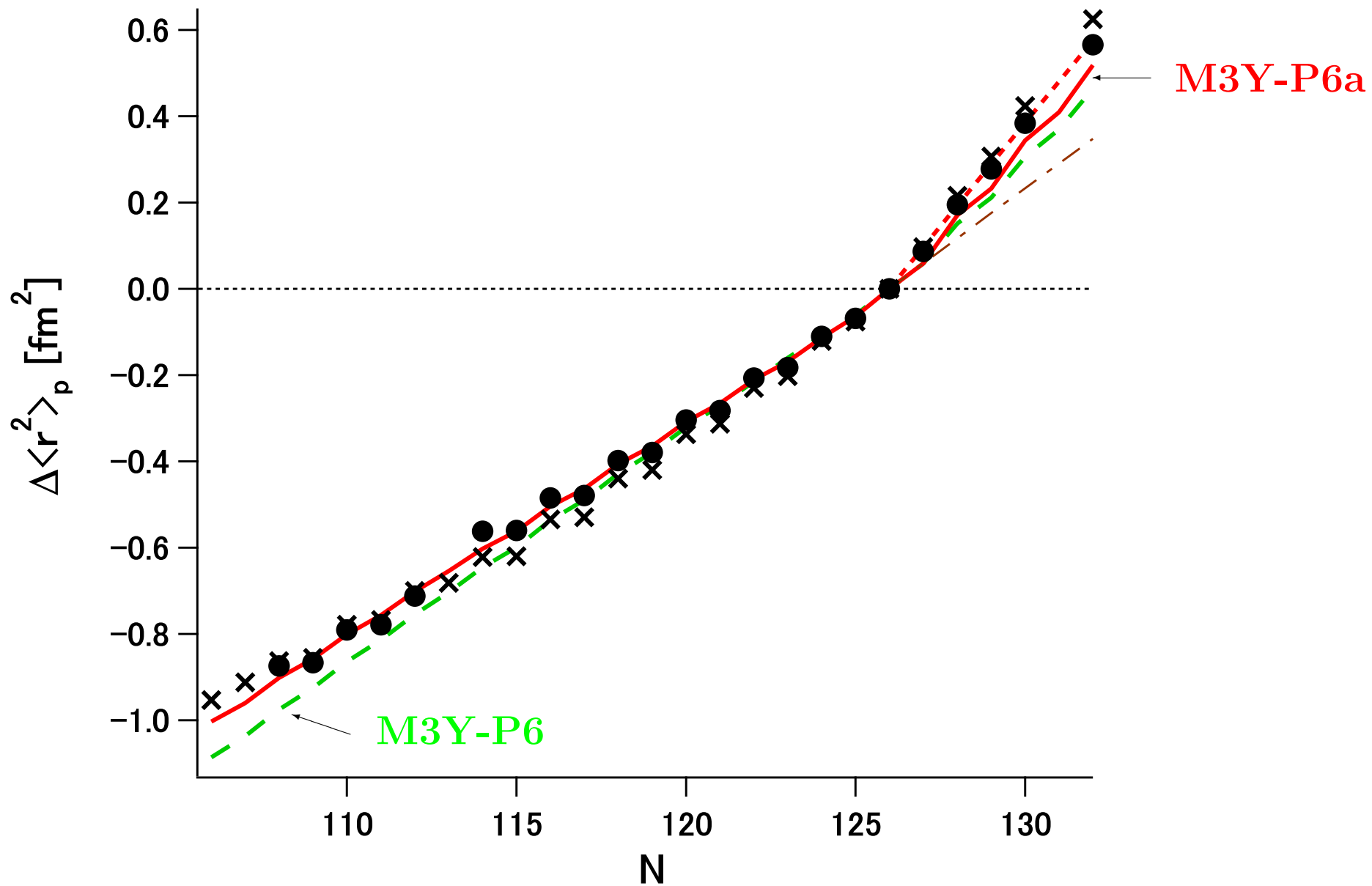
$$\Delta[r R_j(r)] := [r R_j(r)]_{\text{M3Y-P6a}} - [r R_j(r)]_{\text{M3Y-P6}} \quad @ \text{ } ^{208}\text{Pb}$$



$\left\{ \begin{array}{l} j = \ell + 1/2 \text{ 軌道は核内に寄る} \\ j = \ell - 1/2 \text{ 軌道は核外に寄る} \end{array} \right.$

	M3Y-P6	M3Y-P6a
$\langle r^2 \rangle_j$ [fm <sup>2</sup> ]:		
$n1g_{9/2}$	32.3	31.8
$n0i_{11/2}$	40.2	40.7

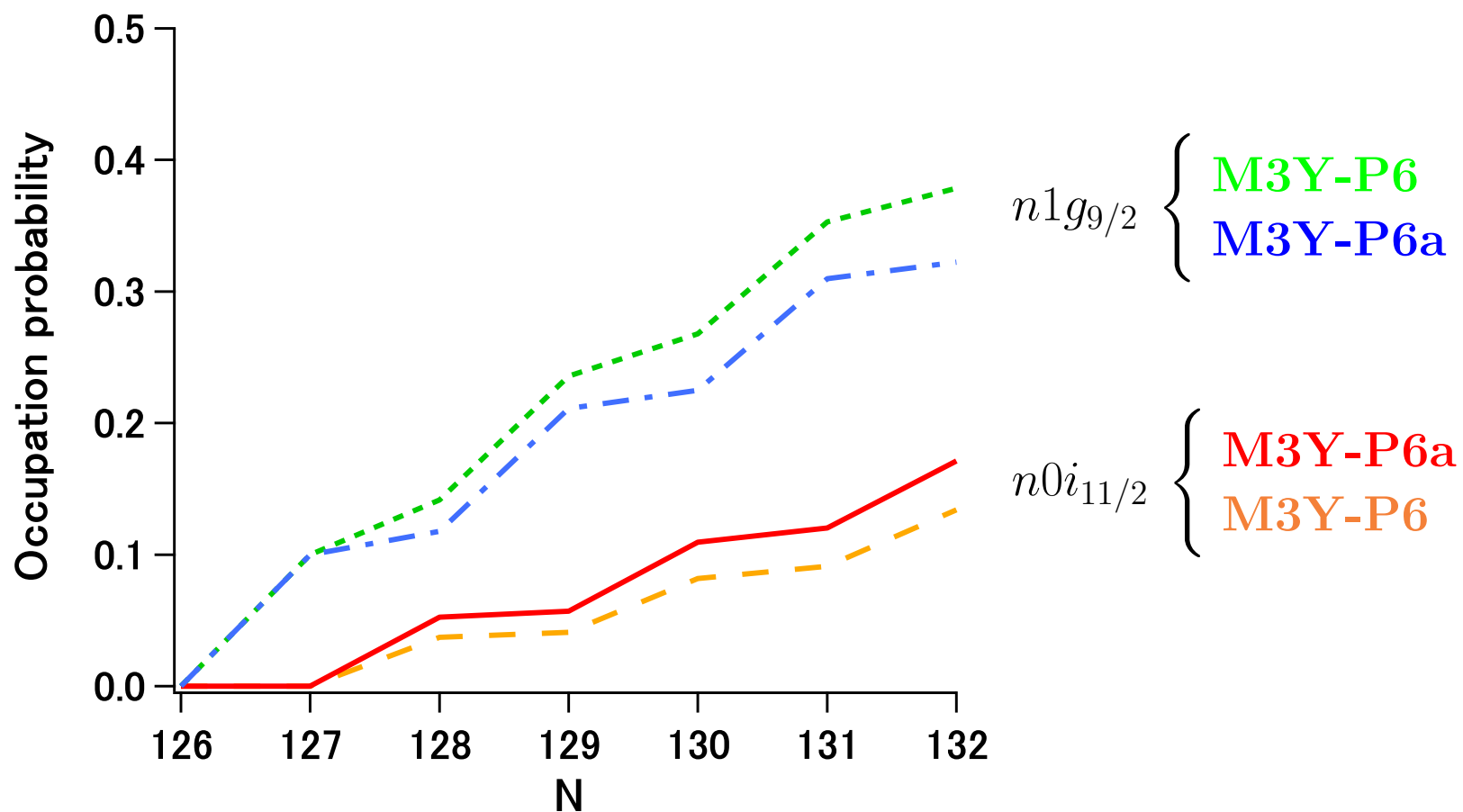
★ Pb核の isotope shift



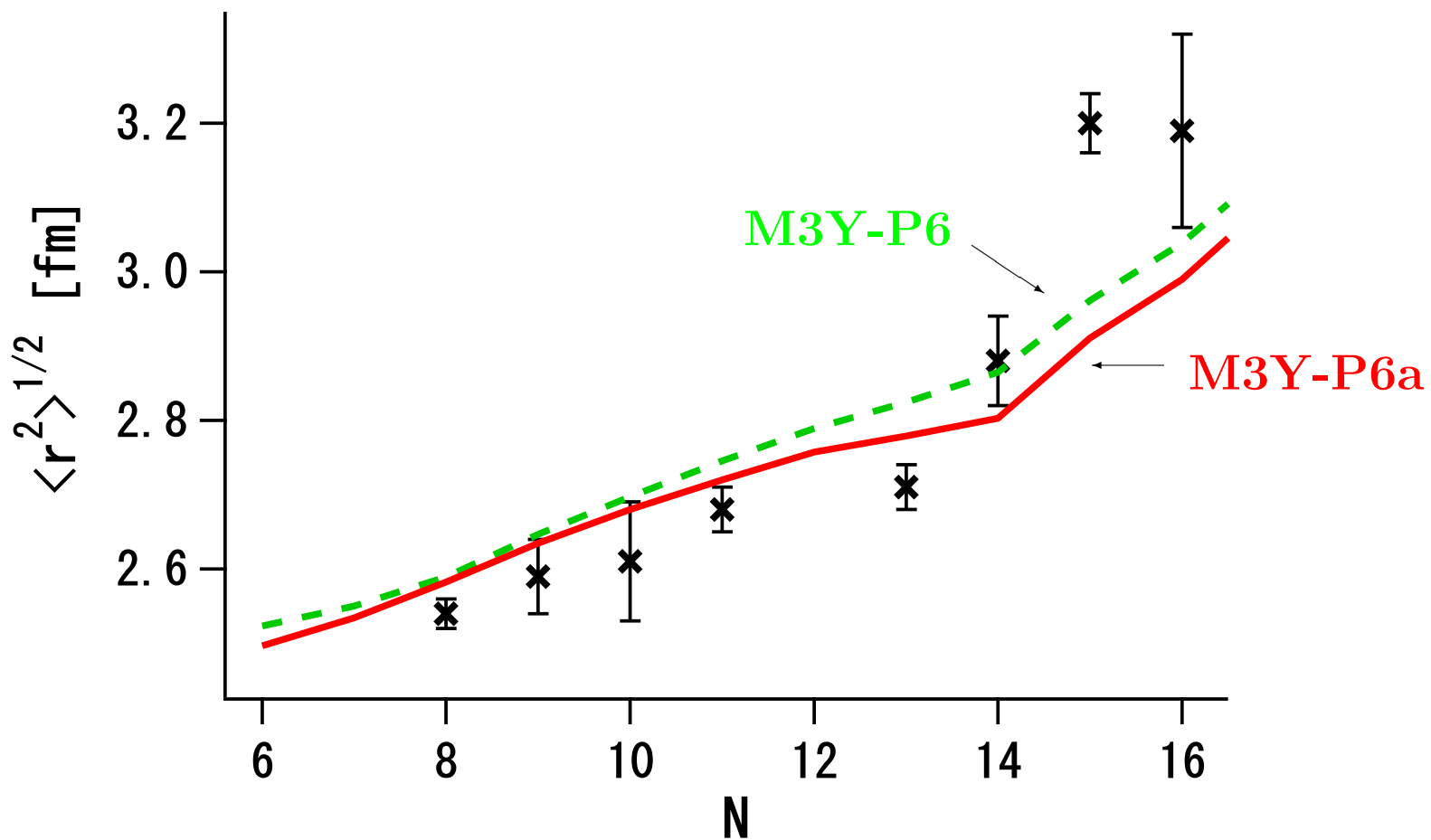
★ 1 粒子 energy & occ. prob.

$$\varepsilon_n(0i_{11/2}) - \varepsilon_n(1g_{9/2}) : \begin{cases} \text{exp. @ } ^{209}\text{Pb} \rightarrow 0.78 \text{ MeV} \\ \text{M3Y-P6a} \rightarrow 0.72 \text{ MeV} \end{cases}$$

occ. prob.



★ 他の領域では？ …  $\sqrt{\langle r^2 \rangle}$  in O isotopes



幾らか improve, 依然<sup>23</sup>Oでは不一致

### III. Summary

- **M3Y-P6a**  $\rightarrow n1g_{9/2}$ - $n0i_{11/2}$  の (fictitious な) 縮退なしに  
Pb核の isotope shift がほぼ再現できた  
—  $3N$  LS int. の evidence!
- $N > 126$  での isotope shift の even-odd staggering  
 $\rightarrow n1g_{9/2}$ ,  $n0i_{11/2}$  の occ. prob. の even-odd staggering  
 $\rightarrow N = \text{odd}$  核基底状態  $\dots$  1 q.p. state (on  $n1g_{9/2}$ )  
 $\Rightarrow n0i_{11/2}$  occupation による  $N > 126$  での isotope shift の説明を support



- Shell structure の origin のより正確な理解
- $\chi$ EFT の有効性

#### Perspectives :

- Drip line, shell structure への影響?
  - 変形, excitation (特に spin excitation) への影響?
- }  $\rightarrow$  astrophysical effects ?